

УДК 532.59.013

© 1999 г. Е.А. КАРАБУТ

ПРИМЕР ТЕЧЕНИЯ ТЯЖЕЛОЙ НЕСЖИМАЕМОЙ ЖИДКОСТИ СО СВОБОДНОЙ ГРАНИЦЕЙ

Найдено решение уравнений Эйлера, описывающее плоское стационарное потенциальное течение несжимаемой жидкости в поле сил тяжести. На свободной поверхности выполнено условие постоянства давления, поверхностное натяжение не учитывается.

Не много известно примеров точного решения задач о плоском потенциальном течении тяжелой жидкости со свободной границей. Самые известные примеры – это угловое течение Стокса [1], течение Жуковского [2] и течение Ричардсона [3]. Интересные решения о течении жидкости над неровным дном определенной формы найдены в [4]. Дополнительные примеры точных решений (их общее число не превышает 10) можно найти в [5, 6].

Недавно в [7–9] найдено целое семейство точных решений задачи о течениях тяжелой жидкости. Оно описывается системой обыкновенных дифференциальных уравнений специального вида. В общем виде эта нелинейная система не решается и было найдено только частное подмножество решений, близкое к уединенным волнам на воде. Новое решение этой системы, соответствующее движению жидкости над неровным дном, получено в данной заметке.

Ось X декартовой системы координат пусть горизонтально слева направо, а ось Y – вертикально вверх. Считаем, что движение жидкости происходит над дном, имеющим ровный горизонтальный участок, простирающийся от некоторой точки $X = X^*$ до $X = -\infty$. При $X > X^*$ дно, вообще говоря, может искривляться. Поместим начало декартовой системы координат на ровном участке дна. Пусть при $X \rightarrow -\infty$ жидкость движется слева направо с горизонтальной скоростью u_0 в слое глубины h_0 , т.е. считаем, что свободная поверхность там – горизонтальная линия. Течение определяется числом Фруда $Fr = u_0 / \sqrt{gh_0} > 1$ (g – ускорение свободного падения) либо параметром Стокса θ ($0 \leq \theta < \pi/2$), определяемым из уравнения $\operatorname{tg} \theta / \theta = Fr^2$.

Обозначим через Φ , Ψ соответственно потенциал скорости и функцию тока. В плоскости безразмерного комплексного потенциала

$$\chi = \varphi + i\psi = \frac{\theta}{h_0 u_0} (\Phi + i\Psi)$$

жидкости соответствует полоса $-\infty < \varphi < \infty$, $0 < \psi < \theta$. Задача будет решена, если найдем конформное отображение этой полосы на область течения

$$Z = X + iY = \frac{h_0}{\theta} (\chi + W(\chi))$$

Неизвестная функция $W(\chi)$ определяется из решения краевой задачи

$$\left| \frac{d(W + \chi)}{d\chi} \right|^2 = \frac{1}{1 - 2v \operatorname{Im} W}, \quad v = \operatorname{ctg} \theta \quad (\psi = \theta, \varphi < \varphi^*) \quad (1)$$

$$\operatorname{Im} W = 0 \quad (\psi = 0, \varphi < \varphi^*)$$

$$\lim_{\varphi \rightarrow -\infty} \operatorname{Im} W = 0$$

Первое уравнение – условие постоянства давления на свободной поверхности (интеграл Бернулли). Второе – условие ровного дна. Решение этой задачи не единственно, поскольку ничего не известно о поведении решения при $\varphi > \varphi^*$.

Линеаризация (1) на тривиальном решении $W \equiv 0$ дает линейную краевую задачу

$$B_\psi = \nu B \quad (\psi = \theta, \varphi < \varphi^*), \quad B = 0 \quad (\psi = 0, \varphi < \varphi^*), \quad B = \operatorname{Im} W \quad (2)$$

Решение задачи (2), исчезающее при $\varphi \rightarrow -\infty$, имеет вид $B = e^\varphi \sin \psi$. Такая линеаризация локально справедлива при $X \rightarrow -\infty$, так как там свободная поверхность жидкости близка к невозмущенной горизонтальной линии $Y = h_0$. Таким образом, в главном члене имеем $W \sim e^X$. Поэтому решение краевой задачи (1) естественно искать в виде степенного ряда

$$W = \sum_{j=1}^{\infty} E_j(\theta) \zeta^j, \quad \operatorname{Im} E_j = 0 \quad (\zeta = e^X) \quad (3)$$

Это асимптотическое разложение при $\varphi \rightarrow -\infty$ было предложено в [10] для исследования уединенных волн большой амплитуды. Если его подставить в граничное условие (1) и приравнять члены при одинаковых степенях e^{φ} , то получим рекуррентные формулы для нахождения коэффициентов E_j

$$E_2 = E_1^2 \left(-\frac{3}{4} v^2 + \frac{1}{4} \right), \quad E_3 = E_1^3 \left(\frac{9}{16} v^4 - \frac{7}{8} v^2 + \frac{1}{16} \right), \dots$$

$$E_j(\theta, E_1) = E_1^j \tilde{E}_j(\nu) \quad (j \geq 2)$$

В [10] численно найдено 200 членов разложения (3) для $\theta = \pi/3$ и $\pi/4$. Обнаружилось, что ряд (3) можно использовать для приближенного изучения уединенных волн вплоть до максимальной амплитуды.

Первый коэффициент E_1 остается не определенным. В [9, 10] показано, что его изменение приводит лишь к сдвигу решения вдоль полосы. Однако утверждение о том, что при фиксированном θ существует единственное решение – не совсем точно. Правильное утверждение состоит в следующем: при изменении E_1 течение, даваемое рядом (3), не меняется, если E_1 не меняет знака. Ранее рассматривался случай $E_1 > 0$. В этом случае свободная поверхность расположена выше невозмущенного уровня $Y = h_0$. Это течение похоже на уединенную волну. При $E_1 < 0$ существует второе течение, для которого глубина жидкости при $X \rightarrow -\infty$ меньше h_0 . Ниже будет построено такое течение для $\theta = \pi/3$.

Преобразуем сначала краевую задачу (1) в бесконечную систему обыкновенных дифференциальных уравнений. Введем новые функции $P_1(\chi), P_2(\chi), P_3(\chi), \dots$, которые с неизвестной функцией $W(\chi)$ связаны соотношениями

$$P_j(\chi) = W(\chi + i\theta(2j - 2)) \quad (4)$$

Перепишем условие постоянства давления (1) в виде

$$\left(\frac{dW(\varphi + i\theta)}{d\varphi} + 1 \right) \left(\frac{d\overline{W(\varphi + i\theta)}}{d\varphi} + 1 \right) = \frac{1}{1 + i\nu(W(\varphi + i\theta) - \overline{W(\varphi + i\theta)})} \quad (5)$$

Условие ровного дна позволяет применить принцип симметрии и аналитически продолжить функцию $W(\chi)$, определенную в верхней полуплоскости, в нижнюю

полуплоскость: $\overline{W(\varphi + i\theta)} = W(\varphi - i\theta)$. Принимая это во внимание, получим из (4)

$$P_j(\varphi + i\theta(1 - 2j)) = \overline{W(\varphi + i\theta)}, \quad P_{j+1}(\varphi + i\theta(1 - 2j)) = W(\varphi + i\theta)$$

Таким образом, (5) может быть переписано

$$\left(\frac{dP_{j+1}(\varphi + i\theta(1 - 2j))}{d\varphi} + 1 \right) \left(\frac{dP_j(\varphi + i\theta(1 - 2j))}{d\varphi} + 1 \right) = \\ = \frac{1}{1 + i\nu[P_{j+1}(\varphi + i\theta(1 - 2j)) - P_j(\varphi + i\theta(1 - 2j))]}$$

Учитывая аналитичность функций P_{j+1} , P_j , заменим производные $d/d\varphi$ на $d/d\chi$ и получим в результате следующую бесконечную систему уравнений:

$$\left(\frac{dP_2}{d\chi} + 1 \right) \left(\frac{dP_1}{d\chi} + 1 \right) = \frac{1}{1 + i\nu(P_2 - P_1)} \quad (6)$$

$$\left(\frac{dP_3}{d\chi} + 1 \right) \left(\frac{dP_2}{d\chi} + 1 \right) = \frac{1}{1 + i\nu(P_3 - P_2)}, \dots$$

для неизвестных функций P_1, P_2, P_3, \dots

Если разыскивается решение задачи (1), периодическое по ψ , и одновременно отношение периода к θ является рациональным числом, то система (6) становится конечной. Решение $W(\chi)$, даваемое рядом (3), является периодической функцией по ψ с периодом 2π . Поэтому, если $\theta = \pi m/n$, где m, n – целые, система (6) конечна, потому что множество функций $P_j(\chi)$ будет содержать периодически повторяющееся подмножество, состоящее только из n различных функций. В самом деле, учитывая периодичность и (4), имеем

$$P_{n+1}(\chi) = W(\chi + i2n\theta) = W(\chi + i2\pi m) = W(\chi) = P_1(\chi)$$

Следовательно, для рациональных чисел θ/π решение, даваемое рядом (3), определяется равенством $W = P_1$, где функции P_1, P_2, \dots, P_n удовлетворяют системе из n обыкновенных дифференциальных уравнений

$$\left(\frac{dP_{j+1}}{d\chi} + 1 \right) \left(\frac{dP_j}{d\chi} + 1 \right) = \frac{1}{1 + i\nu(P_{j+1} - P_j)} \quad (7)$$

$$P_{n+1} = P_1 \quad (1 \leq j \leq n)$$

Отметим, что эта система имеет интеграл

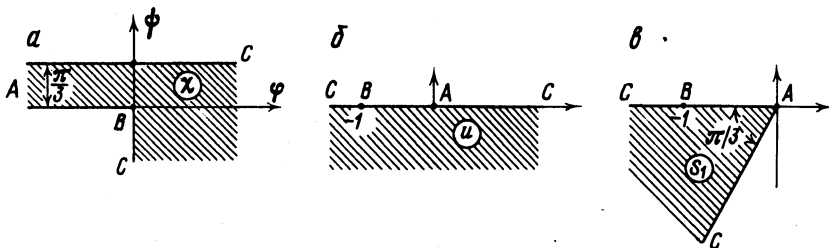
$$(P_1 - P_2)^2 + (P_2 - P_3)^2 + \dots + (P_{n-1} - P_n)^2 + (P_n - P_1)^2 = \text{const} \quad (8)$$

Для периодических гравитационных волн не существует асимптотического разложения, подобного (3). Однако из условия периодичности по ψ можно получить систему уравнений, аналогичную (7). Ее решения дают течения, похожие на волны на воде [11, 12].

Пусть теперь $\theta = \pi/3$. В этом случае система (7) содержит минимальное количество – три уравнения. Разрешая их относительно производных, получим

$$P'_1 + 1 = \frac{f_2}{\sqrt{f_1 f_2 f_3}}, \quad P'_2 + 1 = \frac{f_3}{\sqrt{f_1 f_2 f_3}}, \quad P'_3 + 1 = \frac{f_1}{\sqrt{f_1 f_2 f_3}}$$

$$f_1 = 1 + \frac{i}{\sqrt{3}}(P_2 - P_1), \quad f_2 = 1 + \frac{i}{\sqrt{3}}(P_3 - P_2), \quad f_3 = 1 + \frac{i}{\sqrt{3}}(P_1 - P_3)$$



Фиг. 1. Схема течения на плоскостях χ (а), u (б) и S (в)

Система будет проще для новых неизвестных

$$S_l = \sum_{k=0}^{\infty} E_{l+3k} \zeta^{l+3k} \quad (l=1,2,3) \quad (9)$$

$$P_1 = S_1 + S_2 + S_3, \quad P_2 = e^{2i\pi/3} S_1 + e^{4i\pi/3} S_2 + S_3, \quad P_3 = e^{4i\pi/3} S_1 + e^{2i\pi/3} S_2 + S_3$$

Можно оставить только два уравнения

$$\frac{dS_1}{d\chi} = \frac{S_1}{\sqrt{1+S_1^3}}, \quad \frac{d(S_3+\chi)}{d\chi} = \frac{1}{\sqrt{1+S_1^3}} \quad (10)$$

поскольку в новых переменных интеграл (8) будет иметь вид $S_2 = 0$. Если функции $S_1(\chi)$, $S_3(\chi)$ найдены, то решение дается формулой $W = S_1 + S_3$.

Из (9) следует, что $S_1 \approx E_1 e^\chi$ при $\phi \rightarrow -\infty$. Пусть $E_1 < 0$, тогда S_1 на дне $\chi = \phi$ также является отрицательной. Тогда, как следует из первого уравнения (10), при увеличении ϕ величина S_1 убывает. Убывание продолжается, пока не будет выполнено равенство $S_1 = -1$. Далее при увеличении ϕ функция S_1 уже не может оставаться вещественной. Точка $\chi = \phi^*$, где это происходит, является особой – здесь происходит излом формы дна.

Найдем эту точку. Сделаем в первом уравнении (10) замену $u = S_1^3$

$$d\chi = \frac{1}{3} du \frac{\sqrt{1+u}}{u} \quad (11)$$

Проинтегрируем (11) при вещественных χ

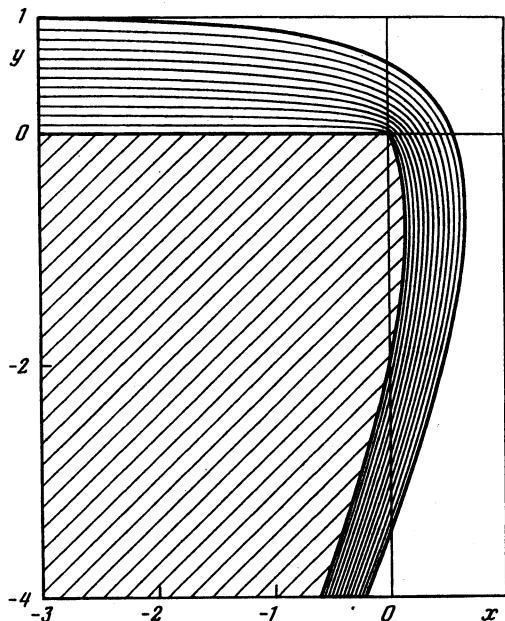
$$\frac{1}{3} \left(2\sqrt{1+u} + \ln \frac{1-\sqrt{1+u}}{1+\sqrt{1+u}} \right) = \phi + c, \quad c = \frac{1}{3} \left[2 + \ln \frac{(-E_1^3)}{4} \right]$$

Константа интегрирования найдена из асимптотики при $\phi \rightarrow -\infty$. Точка излома соответствует особой точке $u = -1$, следовательно, $\phi^* = -c$. Далее положим $E_1 = -(2/e)^{2/3} \approx -0,815$, в результате будем иметь $\phi^* = 0$.

Построенное решение имеет простую геометрическую интерпретацию. Уравнение (11) дает формулу Кристоффеля – Шварца

$$\chi = \frac{1}{3} \int_{-1}^u d\xi \frac{\sqrt{1+\xi}}{\xi} \quad (12)$$

осуществляющую конформное отображение нижней полуплоскости u на многоугольник в плоскости χ , изображенный на фиг. 1. Формула $u = S_1^3$ осуществляет конформное отображение клина в плоскости S_1 (см. фиг. 1, в) на нижнюю полуплоскость u .



Фиг. 2. Форма свободной поверхности и линии тока при стекании жидкости на криволинейной стенке

Интегрируя следствие из (10) $d(S_3 + \chi) = d \ln S_1$ и учитывая условия на левой бесконечности, получим $S_3 + \chi = \ln(S_1/E_1)$. Следовательно, искомое конформное отображение находится по формуле

$$\chi + W = S_1 + \ln(S_1 / E_1) \quad (13)$$

Формулы (12), (13) и $u = S_1^3$ в неявном виде дают зависимость $W(\chi)$.

Найдем, например, форму свободной поверхности. Видно из рисунков, что на свободной поверхности AC $S_1 = -Qe^{i\pi/3}$, где Q — положительный вещественный параметр, меняющийся от 0 до ∞ . Подставив это значение S_1 в (13) и взяв затем реальную и мнимую части, получим параметрическую запись уравнения свободной поверхности

$$x = \left[-\frac{3}{2\pi} Q + \frac{3}{\pi} \ln \frac{Q}{(-E_1)} \right], \quad y = \left[1 - Q \frac{3\sqrt{3}}{2\pi} \right] \quad (Q \geq 0)$$

Здесь $x = X/h_0$, $y = Y/h_0$. Форма свободной поверхности, даваемая этими формулами, а также линии тока изображены на фиг. 2.

Получили решение, соответствующее стеканию жидкости по криволинейной стенке. Простых явных формул для формы стенки не существует. Первоначально при $\varphi < \varphi^*$ стенка прямолинейна и горизонтальна. В окрестности особой точки (поместим ее в начало координат $Z = 0$) решение имеет вид: $Z \sim \chi^{4/3} e^{-i\pi/3}$ (с положительным коэффициентом). Следовательно, стенка имеет излом с внутренним углом 120° . Далее при увеличении φ стенка уже криволинейна, хотя при $\varphi \rightarrow \infty$ она опять становится прямолинейной и наклоненной к вертикали под углом 30° .

Заключение. Найдено однопараметрическое семейство течений, описываемых системой обыкновенных дифференциальных уравнений. Для числа Фруда $3^{3/4} \pi^{-1/2} =$

= 1,2861 система состоит из трех уравнений и решается в квадратурах. В результате получается течение, которое может использоваться для приближенного описания задачи о водопаде. Для других чисел Фруда система уравнений состоит из большего количества уравнений и было бы весьма полезным исследовать ее в этом случае.

Работа выполнена в рамках интеграционного проекта СО РАН № 43 "Исследование поверхностных и внутренних гравитационных волн в жидкости".

СПИСОК ЛИТЕРАТУРЫ

1. *Stokes G.G.* On the theory of oscillatory waves // *Math. and Phys. Papers.* Cambridge: Univ. Press, 1880. V. 1. P. 197–229.
2. *Жуковский Н.Е.* Определение движения жидкости при каком-нибудь условии, данном на линии тока // *Журн. Русск. физ.-хим. о-ва.* 1891. Т. 23. Вып. 2. С. 89–100.
3. *Richardson A.R.* Stationary waves in water // *Phil. Mag.* 1920. V. 40. № 6. P. 97–110.
4. *Villat H.* Sur l'écoulement des fluides resants // *Ann. Sci. École Norm. supér.* 1915. V. 32. № 3. P. 177–214.
5. *Гуревич М.И.* Теория струй идеальной жидкости. М.: Наука, 1979. 536 с.
6. *Daboussy D., Dias F., Vanden-Broeck J.-M.* On explicit solutions of the free-surface Euler equations in the presence of gravity // *Phys. Fluids.* 1997. V. 9. № 10. P. 2828–2834.
7. *Карabut Е.А.* К задаче об уединенной волне на поверхности жидкости // *Докл. РАН.* 1994. Т. 337. № 3. С. 339–341.
8. *Карabut Е.А.* Суммирование ряда Вайтинга в задаче об уединенной волне // *Сиб. мат. журн.* 1995. Т. 36. № 2. С. 328–347.
9. *Karabut E.A.* Asymptotic expansions in the problem of a solitary wave // *J. Fluid Mech.* 1996. V. 319. P. 109–123.
10. *Witting J.* On the highest and other solitary waves // *SIAM J. Appl. Math.* 1975. V. 28. № 3. P. 700–719.
11. *Карabut Е.А.* Семейство точных решений, близких к гравитационным волнам максимальной амплитуды // *Докл. РАН.* 1995. Т. 344. № 5. С. 623–626.
12. *Karabut E.A.* An approximation for the highest gravity waves on water of finite depth // *J. Fluid Mech.* 1998. V. 372. P. 45–70.

Новосибирск

Поступила в редакцию
18.III.1998